

Рассматривается задача о медленном вращении релятивистских тел в скалярно-тензорной теории тяготения. В первом приближении по угловой скорости получено уравнение, описывающее вращение, его внешнее решение и выражение для момента импульса. Приведены результаты численного интегрирования этих уравнений. В расчетах применялось уравнение состояния нейтронно-звездной материи в модели однобозонного обмена. Полученные результаты сравниваются с данными наблюдений пульсаров.

Проблеме вращающихся тел в рамках общей теории относительности (ОТО) посвящен ряд работ [1–5]. В [1] было найдено точное решение уравнений Эйнштейна для стационарного аксиально-симметричного гравитационного поля в вакууме. В [2–5] рассматривалось приближенное общее решение, описывающее поле медленно вращающегося тела.

Представляет интерес рассмотрение данного вопроса с точки зрения альтернативных теорий гравитации. Одной из них является скалярно-тензорная теория Иордана-Бранса-Дикке [6–8]. Задача вращения тел в этой теории рассмотрена в работе [9]. Настоящая статья посвящена данному вопросу и ограничивается моделью медленного вращения, при котором угловая скорость  $\omega$  удовлетворяет условиям:

$$\omega r \ll 1, \quad \omega^2 \ll M / r^3. \quad (1)$$

Первое из них означает, что линейная скорость любого элемента тела много меньше скорости света  $c$ , а второе – малость центробежных сил по сравнению с силами тяготения. В (1)  $M$  – масса тела,  $r$  – радиальная координата; здесь и далее используются единицы  $c=G=1$ ,  $G$  – гравитационная постоянная.

Уравнения поля в скалярно-тензорной теории тяготения имеют следующий вид [6–8]:

$$G_{\mu\nu} = -8\pi\psi^{-1}T_{\mu\nu} - \sigma\psi^{-2}(\psi_{;\mu}\psi_{;\nu} - 1/2 \cdot g_{\mu\nu}\psi_{;\rho}\psi^{;\rho}) - \psi^{-1}(\psi_{;\mu;\nu} - g_{\mu\nu}\psi^{;\rho}_{;\rho}), \quad (2)$$

$$\psi^{;\rho}_{;\rho} = 8\pi(3 + 2\sigma)^{-1}T^{\mu}_{\mu}, \quad (3)$$

где  $\psi$  – дальноедействующее скалярное поле;  $\sigma$  – безразмерная константа связи  $\psi$ -поля;  $g_{\mu\nu}$  – метрический тензор;  $G_{\mu\nu}$  – тензор Эйнштейна;  $T_{\mu\nu}$  – тен-

зор энергии-импульса материи, выражающийся через давление  $P$  и плотность вещества  $\rho$  следующим образом:

$$T_{\mu\nu} = (P + \rho)u_{\mu}u_{\nu} - Pg_{\mu\nu}. \quad (4)$$

Здесь  $u_{\mu} = ds/dx^{\mu}$  – четырехскорость,  $ds$  – интервал,  $u_{\mu}u^{\mu} = 1$ .

Теория Иордана-Бранса-Дикке переходит в ОТО в предельном случае  $\sigma \rightarrow \infty$ ,  $\psi = 1$ . Радиоастрономические измерения устанавливают ограничение  $\sigma > 15$  [10].

В первом порядке разложения метрических коэффициентов по степеням  $\omega$  квадрат интервала можно записать в виде [3, 9]:

$$ds^2 = B(r)dt^2 - A(r)dr^2 - r^2[d\theta^2 + \sin^2\theta(d\varphi - \Omega(r, \theta)dt)^2], \quad (5)$$

где  $B(r)$ ,  $A(r)$  – метрические коэффициенты,  $\theta$  – долгота,  $\varphi$  – широта; функция  $\Omega$  описывает «увлечение» инерциальной системы отсчета телом и возникает вследствие вращения конфигурации. В работе [9] показано, что в рассматриваемом приближении функция  $\Omega$  не зависит от долготы  $\theta$ . Уравнения (2-4) являются тогда уравнениями гидростатического равновесия [11], которые определяют в требуемом приближении функции  $A$ ,  $B$ ,  $\rho$ ,  $P$ ,  $\psi$  и другие четные по  $\omega$  параметры системы. После нахождения этих параметров для определения линейной по  $\omega$  функции  $\Omega$  достаточно решить единственное не исчезающее недиагональное  $(t\rho)$ -уравнение в системе (2), записанное в первом порядке по  $\omega$  [9]:

$$\frac{d}{dr} \left( \frac{\psi r^4}{\sqrt{AB}} \cdot \frac{d\Omega}{dr} \right) = 16\pi(P + \rho)(\Omega - \omega) \sqrt{\frac{A}{B}} r^4. \quad (6)$$

Это уравнение описывает медленное вращение системы в скалярно-тензорной теории гравитации. В пределе ОТО  $\psi=1$ , поэтому (6) переходит в известное уравнение теории Эйнштейна [3].

Граничными условиями для (6) являются  $\Omega(0)=\text{const}$ ,  $\Omega(\infty)\sim r^{-3}$ .

Воспользовавшись решением Гекмана [6] для функций  $A$ ,  $B$ ,  $\psi$  в пустоте, найдем внешнее решение уравнения (6):

$$\Omega = \frac{3J}{16h^2(KM)^3} \times \left[ \tau^p \left( \frac{2}{p} - \frac{\tau^{-2h}}{p-2h} - \frac{\tau^{2h}}{p+2h} \right) + \frac{8h^2}{p(p^2-4h^2)} \right], \quad (7)$$

$$r = 4hKM(\tau^{1/2-h} - \tau^{1/2+h})^{-1},$$

$$h^2 = \frac{1}{4} - \frac{C(1-\sigma C)}{2K^2}, \quad K = 1 + 2C, \quad p = 1 + 1/K. \quad (8)$$

Здесь  $C$  – константа интегрирования, определяемая при решении уравнений гидростатического равновесия с учетом непрерывности внутреннего и внешнего решения на границе конфигурации  $P(R)=0$ , где  $R$  – радиус тела [9];  $\tau$  – параметр, причем  $0 < \tau < 1$ . Значение  $\tau$  на поверхности тела определяется одновременно с константой  $C$  [10].

В формуле (7)  $J$  – момент импульса, который, как можно показать [9], в скалярно-тензорной теории приобретает следующий вид:

$$J = \left[ -\frac{1}{6} \frac{\psi r^4}{\sqrt{AB}} \cdot \frac{d\Omega}{dr} \right]_{r=R} =$$

$$= \frac{8\pi}{3} \int_0^R r^4 (P + \rho)(\omega - \Omega) \frac{\sqrt{A}}{\psi \sqrt{B}} dr +$$

$$+ \frac{1}{6} \int_0^R \frac{r^4}{\psi \sqrt{AB}} \cdot \frac{d\psi}{dr} \cdot \frac{d\Omega}{dr} dr. \quad (9)$$

Последний член в (9) можно интерпретировать как вклад  $\psi$ -поля в момент импульса системы. Момент инерции конфигурации относительно оси вращения  $I=J/\omega$  также можно выразить через сумму двух членов  $I=I_p+I_\psi$ , которая отражает вклады вещественной и полевой компоненты в момент инерции системы.

Приведем результаты численного интегрирования уравнений гидростатического равновесия и уравнения (6), описывающего вращение.

При расчетах в области подъядерных плотностей использовалось уравнение состояния из [13]. При плотностях выше ядерной применялись уравнения состояния, полученные в модели однобозонного обмена. Ядерная материя рассматривалась в приближении Хартри-Фока, и в модели учитывался обмен псевдоскалярными мезонами  $\pi$ ,  $\eta$ , векторными мезонами  $\omega$ ,  $\rho$ ,  $\phi$  и гипотетическими скалярными мезонами  $\sigma$  (изоскаляр) и  $\delta$  (изовектор) [14, 15]. На рис. 1 представлено уравнение состояния нейтронно-звездной материи. Сплошная

кривая отвечает модели однобозонного обмена при массах гипотетических мезонов 540 МэВ, штрихпунктирная кривая приведена для сравнения и взята из работы [16].

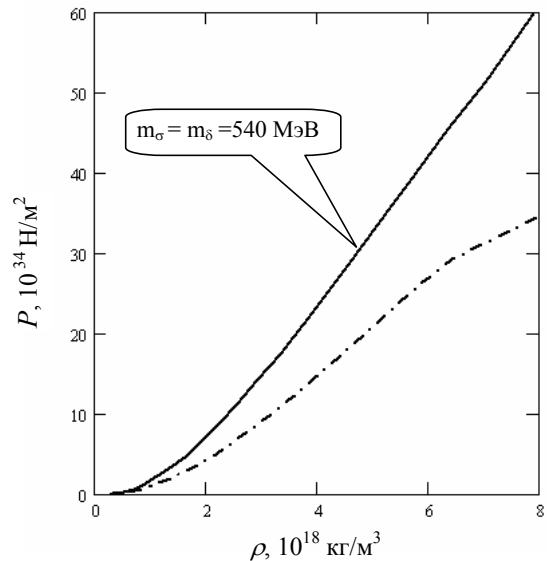


Рис. 1. Зависимость давления ядерной материи от плотности массы: сплошная кривая – модель однобозонного обмена [14], штрихпунктирная – из работы [16]

На рис. 2 изображена зависимость относительных вкладов  $\psi$ -поля в нормированные момент инерции и массу от логарифма плотности  $\rho_0$  в центре конфигурации. Сплошные кривые соответствуют распределению  $M_\psi/M$ , штрихпунктирные –  $I_\psi/I$ . Числа у кривых указывают значения параметра связи  $\psi$ -поля  $\sigma$ .

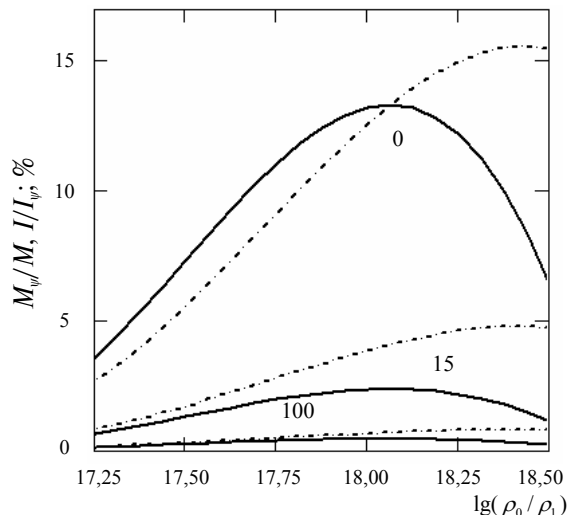


Рис. 2. Относительные вклады скалярного поля в нормированные момент инерции и массу,  $\rho_1=1 \text{ кг/м}^3$

Для пульсара PSR 0532 измерено гравитационное красное смещение линии аннигиляции  $e^+e^-$  у его поверхности; параметр смещения  $Z=B^{-1/2}-1=\Delta\lambda/\lambda=0,28$  [17], где  $\lambda$  – длина волны излучения. Кроме того, анализ энергетического баланса в Крабовидной туманности позволяет устано-

вить ограничения на момент инерции пульсара PSR 0532. При различных предположениях получаются оценки [18]: а)  $I > 1,0 \cdot 10^{36} \text{ кг} \cdot \text{м}^2$ ; б)  $I > 1,8 \cdot 10^{36} \text{ кг} \cdot \text{м}^2$ .

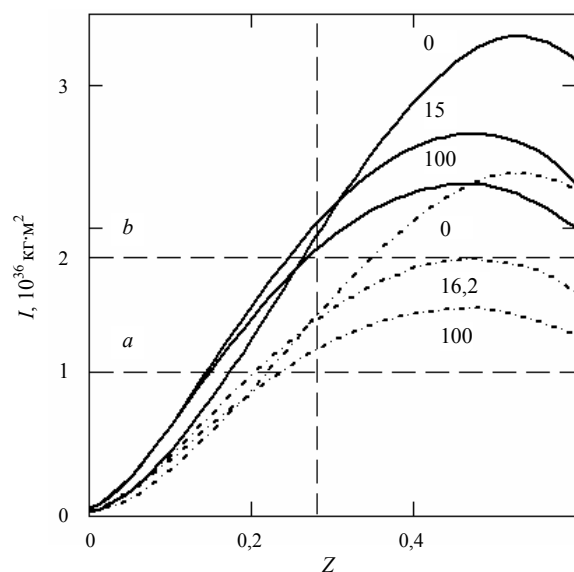


Рис. 3. Зависимость момент инерции – параметр красного смещения на поверхности пульсара

На рис. 3 изображены кривые, представляющие зависимость параметра смещения  $Z$  от момента инерции для рассчитанных конфигураций. Сплошные кривые соответствуют расчетам по уравнению состояния в модели однобозонного обмена

[14], штрихпунктирные линии получены из уравнения состояния [16]. Прямые а), б) отвечают оценкам а) и б) соответственно. Вертикальная линия отмечает значение  $Z=0,28$ .

Уравнение состояния в модели однобозонного обмена является более «жестким» по сравнению с [16] (рис. 1). Поэтому рассчитанные по [14] конфигурации удовлетворяют обеим оценкам а), б) при любых значениях  $\sigma$  (рис. 3).

Как видно из рис. 3, уравнения состояния из [16] приводят к конфигурациям, удовлетворяющим оценке а) при любых значениях  $\sigma$ . Оценке б) удастся удовлетворить лишь при  $\sigma < 16,2$ .

Поскольку экспериментально полученное значение  $Z$  фиксирует величину момента инерции, оказывается, что ни один из рассмотренных вариантов, соответствующих уравнению состояния [16], не удовлетворяет одновременно оценке б) момента инерции и оценке параметра красного смещения. В то же время модель однобозонного обмена по-прежнему удовлетворяет обеим оценкам  $Z=0,28$  и б) при любых  $\sigma$ . Видимо, уравнение состояния [16] следует считать недостаточно жестким для объяснения астрофизических данных.

Знание параметра красного смещения и момента инерции пульсара позволяет наложить ограничения на допустимые уравнения состояния. С другой стороны, эти параметры при достаточно надежном уравнении состояния могут быть использованы для проверки теории тяготения.

## СПИСОК ЛИТЕРАТУРЫ

- Kerr R.P. Gravitational Field of a Spinning Mass as an Example of Algebraically Special Metrics // *Phys. Rev. Lett.* – 1963. – V. 11. – № 5. – P. 237–238.
- Дорошкевич А.Г., Зельдович Я.Б., Новиков И.Д. Гравитационный коллапс несимметричных и вращающихся масс // *Журнал экспериментальной и теоретической физики.* – 1965. – Т. 49. – № 4. – С. 170–181.
- Hartle J.B. Slowly Rotating Relativistic Stars. I // *Astrophysical Journal.* – 1967. – V. 150. – P. 1005–1029.
- Седракан Д.М., Чубарян Э.В. Стационарные аксиально-симметрические гравитационные поля // *Астрофизика.* – 1968. – № 4. – С. 239–255.
- Cohen J.M., Brill D.R. Slowly rotating neutron stars // *Nuovo Cim.* – 1968. – V. 56B. – P. 209–215.
- Jordan P. *Schwerkraft und Weltall.* – Braunschweig: Verlagsgesellschaft, 1955. – 214 S.
- Brans C., Dicke R.H. Mach's Principle and a Relativistic Theory of Gravitation // *Phys. Rev.* – 1961. – V. 124. – № 3. – P. 925–935.
- Brans C. Mach's Principle and a Relativistic Theory of Gravitation. II // *Phys. Rev.* – 1962. – V. 125. – № 6. – P. 2194–2201.
- Рейзлин В.И. Медленно вращающиеся тела в скалярно-тензорной теории тяготения // *Известия вузов. Физика.* – 1981. – Т. 24. – № 5. – С. 22–26.
- Рейзлин В.И. Модель медленного вращения в скалярно-тензорной теории тяготения // В сб.: Математическое и программное обеспечение САПР. – Вып. 1. – Томск: Изд-во Том. политех. ун-та, 1997. – С. 178–186.
- Fomalont E.B., Sramek R.A. Measurements of the Solar Gravitational Deflection of Radio Waves in Agreement With General Relativity // *Phys. Rev. Lett.* – 1976. – V. 36. – P. 1475–1478.
- Саакян Г.С. Равновесные конфигурации вырожденных газовых масс. – М.: Наука, 1972. – 220 с.
- Ferrini F. The Equation of State for Neutron Stars // *Astrophysical Space Sci.* – 1975. – V. 32. – № 1. – P. 231–247.
- Филимонов В.А. Ядерное и гиперядерное вещество в модели однобозонного обмена // *Ядерная физика.* – 1985. – Т. 22. – № 5. – С. 494–502.
- Рейзлин В.И., Филимонов В.А. Уравнение состояния нейтронной материи в модели однобозонного обмена // В сб.: Нейтронная физика. – Ч. 3. – М.: Наука, 1986. – С. 128–132.
- Бете Г. Теория ядерной материи. – М.: Мир, 1974. – 184 с.
- Leventhal M., MacCallum C.J., Watts A.C. Possible  $\gamma$ -Ray Line from the Crab Nebula // *Nature.* – 1977. – V. 266. – P. 696–698.
- Börner G., Cohen J.M. Rotating Neutron Star Models and Pulsars // *Astrophysical Journal.* – 1973. – V. 185. – P. 959–974.